



## بررسی کاتالیزور پالادیم برای از بین بودن ترکیبات هالوژن دار در فاضلابهای صنعتی

علیرضا جناب<sup>1</sup>، علی زادعلی شاه آبادی<sup>2</sup>، محمد ساریچلو<sup>3</sup>، امید بلواری زاده دشتستانی<sup>4</sup>

خوزستان، دانشگاه آزاد اسلامی واحد امامیه، دانشکده فنی مهندسی، گروه مهندسی شیمی

تهران، دانشگاه آزاد اسلامی واحد رباط کریم، دانشکده فنی مهندسی، گروه مهندسی شیمی<sup>3</sup>

Mor\_uni@yahoo.com

### چکیده

کاتالیزگر پالادیم می تواند برای رفع ترکیبات هالوژن دار از آب های بی مصرف توسط واکنش های هیدروهالوژن در حضور همه ترکیبات آب های به هدر رفته صنعتی استفاده شود. دفع مسومومیت از آب ها و کاهش زیادی از مقدار AOX (که به مواد آلی قابل جذب است توسط هالوژن ها) می تواند باعث جلوگیری از تخلیه خاکستر گیاهان بدون مصرف به حالت سوخته به داخل آن باشد. اغلب آب ها می توانند به فاضلاب های شهری وارد شوند. در این مقاله ما مگنتیت های قابل استخراج را با مقیاس کم ( $\text{pd}/\text{Fe}_3\text{O}_4$ ) که برای بکاربردن در فرآیندهای آب های بی مصرف توسعه کرده اند بررسی می کنیم. این بررسی ها نگاه دقیقی به عملکرد این کاتالیزگر دارد و اطلاعاتی درباره قابلیت های کلی آن تحت شرایط آب های بی مصرف و واکنش هایی از ساختار آب های بیهوده در قالب ماتریس میدهد. آب های بی مصرف شامل یک سطح زیادی از مواد محلول آبی که می توانند از آلودگی هالوژن ها مشخص شده باشند. اگر چه آب هایی که شامل فلزهای سنگین سرب، جیوه و به مقدار کم سولفیدها که نیازمند عملکردهای خاص با کاتالیزگر پالادیم هیدروهالوژن می باشد. [1-6]

**واژه های کلیدی:** کاتالیزگر پالادیم، ترکیبات هالوژن دار،

### مقدمه

کاتالیزگر پالادیم پتانسیل زیادی برای hydrodehalogenation (hydrodehalogenation) موثر از آلودگی آب ها را در بر دارد، در صنایع محیطی و یا شیمیایی پالادیم نقش های مهمی را به عنوان اجزای کاتالیزگرها برای ترکیب مواد شیمیایی خوب داشته اند. واکنش های hydrodehalogen یا برگرداندن کاتالیزگرها در صنایع به صورت اتوماتیک است، اگرچه بهترین دانش های ما، هنوزه در واکنش های آب های بی مصرف بکار نشده اند. مخصوصاً برای آب های بی مصرف صنعتی که شامل  $\text{CHC}_8$  می باشد و  $\text{pd}$  که می تواند اختیار این را داشته باشند که رفع انتخابی بدون درگیر شدن با دیگر ترکیبات آب همانند مواد محلول non-halogenated داشته باشد.[7] جای نوع تحول پر هزینه و بدون انتخاب جذب و یا ترکیب اکسیژن آب و دیگر فرآیندهایی که غیر ضروری هستند، شامل انرژی مصرف شده می باشد. با تمرکز بر روی قابلیت کاتالیزگرهای  $\text{pd}$  برای آب های بی مصرف، ما اخیراً یک شکل قابل بازیافت آنرا یافته ایم که بصورت  $\text{pd}/\text{Fe}_3\text{O}_4$  میباشد و برای اولین بار با بکار بردن  $\text{pd}$  بعنوان کاتالیزگر برای استفاده های تجاري در فرآیندهای آب های بی مصرف، تناییجی را بدست آوردیم. کاتالیزگر  $\text{pd}$  در مقابل تعدادی از نوع های شیمیایی خیلی حساس شناخته شده است، همانند فلزهای سنگین یا ترکیبات سولفار کم.[8-14]

آب های بی مصرف صنعتی شامل موادی هستند که قابل واکنش با ترکیبات کاتالیزگر  $\text{pd}$  میباشند. در مقابل سم های بازگشت ناپذیر و آن هایی که پدیده های غیر واکنشی کاتالیزگر هستند که ممکن است لحظه ای یا به وسیله ای فرآیندهای موثر تولید شوند همانند آشفتنگی های درون آب . این پدیده ها علت های گوناگونی دارند، یعنی  $\text{pd}$  در سطح انسدادی برای جذب مواد همانند مواد معدنی نمکی، انباستگی باقی مانده ها و مواد غیرآلی اکسیدها و بیوفیلم ها و مواد آبی و یا مواد جذب شده از مواد طبیعی آبی می باشد . مونو اکسید کربن نقش اصلی در سم های کاتالیزگر هستند و اسیدهای فرمیک به عنوان یک منبع متغیر هیدروژن در آب بکار برد می شوند.  $\text{HDC}$  فعال کاملاً با سطح هایی از  $\text{Co}$  همزیستی دارند. مطالعات نشان میدهد که مقدار کم کاتالیزگر فعال  $\text{pd}$  بدون  $\text{NP}_S$  می باشد که به وسیله ای Ostwald به عمل می آید، پدیده ای است که کمتر از  $\text{NP}_S$  می باشد و جمع شده یا غیرقابل حل می باشد و  $\text{NP}_S$  که به بزرگتر شدن خودش ادامه می دهد . انباستگی اجزای کاتالیزگر، رشد مواد بلورین سنگ های محترقه و رسوب کردن پدیده هایی هستند که بیشترین علت ها برای کمتر شدن فعالیت ها می باشد، برای  $\text{pd}$  که آهن zero-valent می باشد، برای  $\text{pd}$  که این  $\text{KMnO}_4$  گسترش یافته



است. برای آب های صنعتی و فرآیندهای موجود در آب که آن را به عنوان یک امتیاز در ترکیبات کلی آب و شرایط م اتریسی که شناخته شده و قابل پیشگویی هستند در نظر گرفته ایم، اکثر فرآیندهای زیست محیطی می تواند از مرحله پاکسازی اولیه جلوگیری کنند . به عبارت دیگر پیش بینی کردن عملکرد کاتالیزگرهای pd تحت شرایط مختلف آب های بی مصرف می باشد . این مقاله که در حال حاضر ارائه داده است یک مطالعه منظم از بکارگیری Fe<sub>3</sub>O<sub>4</sub> pd در حضور یون های مشتبه مختلف و اینون ها و مواد آبی همانند ترکیبات آب نشان را می دهد . این دانش بر پایه بهینه سازی کاتالیزگرهای شکل خواهد گرفت و کاتالیزگرهایی که برای حفاظت موثر و توسعه بنیاد pd در فرآیندهای تکثولوزی آب های بی مصرف می باشد.

## بحث

به منظور ارزیابی عملکرد کاتالیزور و کاربرد آن برای درمان پسابهای صنعتی ، نمونه های مختلف آب از ترکیبات مختلف را به عنوان منشاء واکنش HDC مورد استفاده قرار دادیم. نانو ذرات Pd/Fe<sub>3</sub>O<sub>4</sub> محافظت نشده به عنوان HDC کاتالیزور در دسته واکنش های پیوسته با استفاده از لوله راکتور تویل به کار گرفته شد.

برای کاهش TCH و سرعت واکنش بسیار بالا می توان به شرایط ایده آل رسید(مرتبه دوم نرخ ضریب KTCE=10<sup>6</sup> × 10<sup>4</sup> Lg<sup>-1</sup> min<sup>-1</sup> Apd. TCE=2/3 × 10<sup>4</sup> Lg<sup>-10</sup> min<sup>-1</sup> خالص Pd) به عنوان کاوشگر برای مطالعات اثرات آنی ماتریس بر عملکرد کاتالیزور در بکار گرفته شد. بنابراین TCE در مقایسه با TCE و CF در واکنش HDC کنترل واکنش نشان می دهد. لذا برای مشاهده اثر طولانی مدت از آن استفاده می شود. [15]

## در آب خالص HCD

ردیابی نفوذ آب را در سطح ترکیبات بوسیله عمل کاتالیزور آب فوق العاده خالص، آب خالص و آب لوله کشی مورد مطالعه قرار دادیم. در دو حالت واکنش را انجام دادیم : (i) کاتالیت پیش از درمان در آب لوله کشی بود و واکنش بوسیله اضافه کردن TCE آغاز می شود. (ii) کاتالیت قبل از آب خالص بود و سپس به واکنش متوسط آب لوله کشی اضافه شد. برای مشخص شدن برخی ابهامات ، چند طبقه ترکیبات برای تست کردن مورد توجه قرار گرفت . HDC بسیار کنترل در این سه سیستم مختلف آب مورد مطالعه قرار گرفت. فعالیتهای خاص کاتالیت در آب فوق العاده خالص و آب خالص دوباره یکسان هستند.

از آنجا که آب آشامیدنی یکی از خوارکهای بسیار مؤثر و دارای قابلیت کنترل خوب است و نیازمندیهای خلوص سخت را انجام می دهد یک کاتالیت مؤثر غیرفعال انتظار نمی رود. هسته فلزات سنگین از طریق ICPMS[Fe,Cd,Cr,Cu,Mm,Pb,Zn] قابل اندازه گیری اند. غلظت محدوده تشخیص نشان داده بجز برای Pd با 0/1mgL<sup>-1</sup> Cpd < اجزا تشکیل دهنده سخت آب مثل Ca<sup>2+</sup> و Mg<sup>2+</sup> قابل اندازه گیری بودند با اجزاء C<sub>mg2+</sub>=11mgL<sup>-1</sup>, C<sub>ca2+</sub>=78mgL<sup>-1</sup> علاوه بر این برخی از اجزاء باریم (ta 1 mg% Ba<sub>2+</sub>) کشف شده این آب لوله کشی طبقه بندی شده به عنوان آب با سختی متوسط با توجه به تأمین کننده آب و فلزات نامنظم در برگیرنده قابل مشاهده بود. [16]

در آب فوق العاده خالص معمولاً دو فاز شناخته شده در روند واکنش TCE از همه آزمایشات در آب خالص قابل مشاهده بود. با این حال واکنش سریعتر فاز دوم، A<sub>pd,TCE,B</sub> زودتر شروع شد. این امر ممکن است بوسیله عدم وجود کل هیچ یک از اثرات وجود ماتریس بطوری که سطح بالا ریم مطلوب باشد . از بررسی آزمایشات مشخص می شود که غلظت NOM (ماده طبیعی آبی ) مانع واکنش کاتالیزو -Pd. هالوژن آبدار شود . غلظت NOM در آب آشامیدنی بطور معمول در محدوده 2mgL<sup>-1</sup> < است.

## مطالعات HDC در نفوذ فاضلاب مصنوعی در روند واکنش

فاضلابهای صنعتی می توانند مواد معدنی و آبی را چند برابر کنند. نفوذ آنها در عملکرد HDC کاتالیزورهای Pd/Fe<sub>3</sub>O<sub>4</sub> مورد مطالعه قرار گرفته با استفاده از فاضلابهای مصنوعی این واکنش متوسط با رسانایی نزدیک با آب لوله کشی به منظور اجتناب از جریان PH در طی واکنش HDC انتخاب شدند.

تأثیر آبیونها و کاتیونها مختلف روی کاتالیزور pd/Fe<sub>3</sub>O<sub>4</sub> در محدوده غلظت گسترده مورد مطالعه قرار گرفت. علاوه بر این نفوذ دیگر ترکیبات آب مانند حلالها، ساختارهای آلوده کنند، و پلیمرهای طبیعی ارزیابی شدند. [17]

یک لیست از اطلاعات جمع آوری شده در جدول 1 شناس داده شده است. ما آگاهیم که فاضلابهای بسیار بالا ممکن است خطراتی از جمله :

- حمله سمو کاتالیزور قوی مانند کاهش گوگرد ترکیبات سولفور یا یونهای فلزات سنگین
- حضور نمک هایی مانند کلرید ممکن است به فعالیت کمتر کاتالیزور منجر شوند

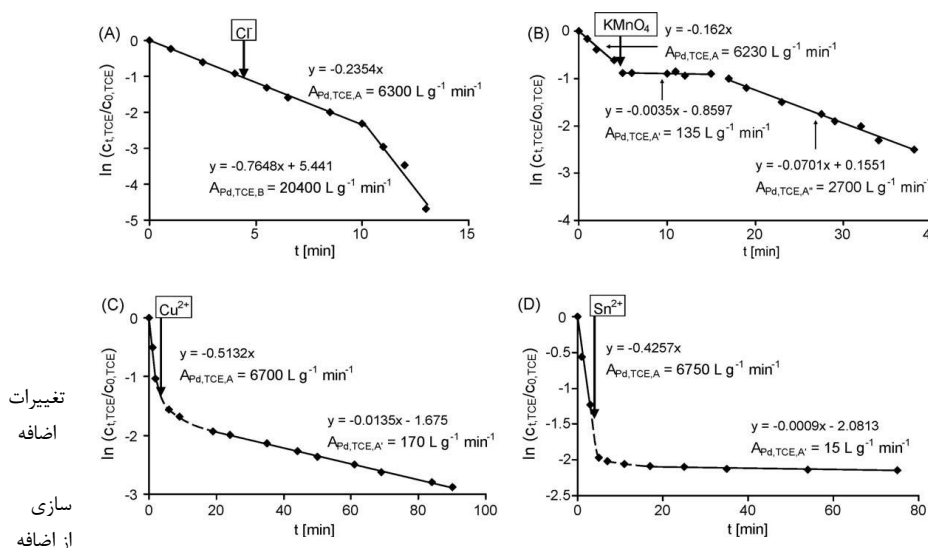
این عمل در تبدیل فارگازی هیدروژن واکنش هیدرو کلردار کردن زمانی که ماتریسهای حلال آب دوست کمتر باشد انجام می شود.



matrix constituent $i$	$c_{i,\text{tap water}}$ [mg L $^{-1}$ ]	Discharge limit $c_i$ [mg L $^{-1}$ ]	$c_{i,\text{tested}}$ [mg L $^{-1}$ , if not otherwise specified]	type of TCE HDC kinetics (see figure 2)	$\frac{A_{\text{Pd,TCE,A}^*}}{A_{\text{Pd,TCE,A}}}$
Na <sub>2</sub> SO <sub>4</sub> / NaHCO <sub>3</sub> standard reaction medium	-	-	5 mM/5 mM	A	1
F <sup>-</sup>	0.4	30 <sup>[38]</sup>	95	A	1
Cl <sup>-</sup>	40	1000 <sup>[39]</sup>	177	A	1
Br <sup>-</sup>	<0.2	-	400	A	1
I <sup>-</sup>	n.a.	-	635	C	0.03
NO <sub>3</sub> <sup>-</sup>	2	30 (N <sub>total</sub> ) <sup>[38]</sup>	310	A	1
SO <sub>4</sub> <sup>2-</sup>	130	2000 <sup>[39]</sup> /600 <sup>[39]</sup>	480	A	1
HS <sup>-</sup> (pH = 10)	n.a.	1 <sup>[38]</sup>	Pd:S = 30:1	C	0.11
HS <sup>-</sup> (pH = 10)	n.a.	1 <sup>[38]</sup>	Pd:S = 1:1	C	0.04
HS <sup>-</sup> (pH = 10)	n.a.	1 <sup>[38]</sup>	Pd:S = 1:2	D	<0.0001
H <sub>2</sub> S (pH = 6)	n.a.	-	Pd:S = 30:1	C	0.16
SO <sub>3</sub> <sup>2-</sup>	n.a.	20 <sup>[38]</sup>	Pd:S = 1:1	A	1
SO <sub>3</sub> <sup>2-</sup>	n.a.	20 <sup>[38]</sup>	Pd:S = 1:5	A	1
SO <sub>3</sub> <sup>2-</sup>	n.a.	20 <sup>[38]</sup>	Pd:S = 1:150	C	0.02
HPO <sub>4</sub> <sup>2-</sup>	0.1	2 <sup>5</sup> [38]/50 <sup>[38]</sup> (P <sub>total</sub> )	5	A	1
HPO <sub>4</sub> <sup>2-</sup>	0.1	2 <sup>5</sup> [39]/50 <sup>[39]</sup> (P <sub>total</sub> )	50	A	1
MnO <sub>4</sub> <sup>-</sup>	n.a.	-	0.01 mM	B	0.02/0.43
NaHCO <sub>3</sub> /CaCl <sub>2</sub> <sup>2)</sup>	n.a. <sup>1)</sup>	-	5 mM/5 mM <sup>3)</sup>	zero order	1
NaHCO <sub>3</sub> /CaCl <sub>2</sub> /MgCl <sub>2</sub> <sup>2)</sup>	n.a. <sup>1)</sup>	-	5 mM/5 mM/5 mM <sup>4)</sup>	zero order	1

جدول 1\_ تأثیر آنیونها و کاتیونهای مختلف روی کاتالیزور pd/Fe<sub>3</sub>O<sub>4</sub>

شکل 1 اثرات معمول در ستیک واکنش را نشان می دهد که در این مقاله بطور خلی خ لاصه راجع به آن بحث کردند این و به نشان دادن نمودارهای اکتفا میکنیم . هیچ اثر قابل توجهی در میزان HDC پس از اضافه کردن آبودگی مورد نظر نبود همانطور (مولار) 5mM 5کلرید اولیه یا یک اثر منفی یافت شد.



شکل 1 مقایسه سنیتیکی حاصل از کردن آبودگی در شکل B بی اثر کاتالیزور اولیه پس از تواند درک شود به عنوان یک رقابت پویا برای کاتالیزورهای فعال برگشت ناپذیر است. بی اثر سازی با توجه به ستیک نوع C را می توان عمل کرد، زیرا واکنش HDC هنوز هم ممکن است در ادامه برخی نرخهای قبول وابسته به غلظت مهار شده باشد.[18]

کردن  $\text{KMnO}_4$  1% را تقریباً پس از چند دقیقه نشان می دهد یک دیگر از مشخصات بی اثر سازی نمونه در شکل C برای  $\text{Cu}^{2+}$  8mMCu<sub>2+</sub> 8% می داشته باشد که فعالیت کاتالیزور کاهش می یابد اما در سطح پایدار می مانند را نشان می دهد. شکل D نمونه ای کامل از کاتالیزور سمی غیر قابل برگشت اثر آنها می تواند درک شود به عنوان یک رقابت پویا برای کاتالیزورهای فعال برگشت ناپذیر است. بی اثر سازی با توجه به ستیک نوع C را می توان عمل کرد،

که گونه های گوگرد رایج ترین کاتالیزورهای سمی هستند و این میتواند یک مسئله عده در تمام کاربردهای Pd تحت شرایط محیطی باشد : از آنجا که سولفات در محیط و در همه جا وجود دارد، کاهش سولفات میکروبی در حضور عوامل کاهش مانند هیدروژن القاء شده است.

آنیونهای سولفاتی به طور معمول به عنوان سموم کاتالیزور شناخته شده نیستند.

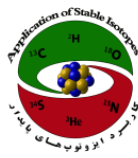
سولفات در فاضلاب ممکن است قابل تحمل باشد. اگر چه در سطوح بالاتر سولفاتی کاتالیزور تاحدی غیرفعال است . ترکیبات آلی سولفور مانند mercaptan و thiophenes رفتاری مشابه آنچه در سولفات معدنی است از خودنشان می دهند . گوگرد بالاترین حالت اکسیداسیون در حالت سولفات تأثیری کاتالیزور در محدوده غلظت بالای Csulphat=5mM نخواهد داشت.

#### تأثیر طبقات مختلف ماده HDC

کاهش گونه های گوگرد رایج ترین کاتالیزورهای سمی هستند و این میتواند یک مسئله عده در تمام کاربردهای Pd تحت شرایط محیطی باشد : از آنجا که سولفات در محیط و در همه جا وجود دارد، کاهش سولفات میکروبی در حضور عوامل کاهش مانند هیدروژن القاء شده است.

آنیونهای سولفاتی به طور معمول به عنوان سموم کاتالیزور شناخته شده نیستند.

سولفات در فاضلاب ممکن است قابل تحمل باشد. اگر چه در سطوح بالاتر سولفاتی کاتالیزور تاحدی غیرفعال است . ترکیبات آلی سولفور مانند mercaptan و thiophenes رفتاری مشابه آنچه در سولفات معدنی است از خودنشان می دهند . گوگرد بالاترین حالت اکسیداسیون در حالت سولفات تأثیری کاتالیزور در محدوده غلظت بالای Csulphat=5mM نخواهد داشت.



در بسیاری از موارد فاضلابهای صنعتی حاوی قابل توجه ای حلال غیر کلر مانند الکلها است که ممکن است تغییر فعالیتهای شیمیایی ترکیبات هدف در واکنش متوجه یا هر مکانیزم فعال داشته باشد.

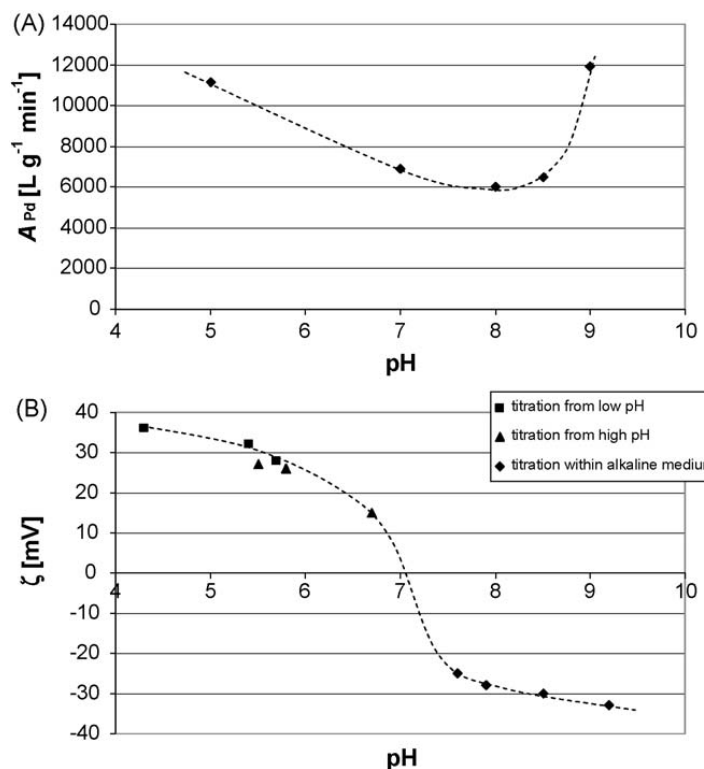
آزمون ها HDC بسته ایی در TCE در ماتریس ۱۰٪ متانول و آب خالص به عنوان واکنش متوجه انجام شد. این غلظت حلال تأثیر معینی در نسبت HDC و سنتیکل نداشت.

بارهای بالای حللهای آلی در فاضلابها کاهش فعالیت Pd خاص را ظاهر می کند اما کاتالیزورهای  $Pd/Fe_3O_4$  هنوز می توانند عمل کنند وقتی که محتوای آب به اندازه کافی بالایی می ماند.

آب برای دفع سریع کلرید از سطح کاتالیزور به منظور جلوگیری از سمومیت کلرید به عنوان توصیف برای، HDC در حللهای خالص آلی یا در فاز گازی ضروری شناخته شده است.

فعالیت کاتالیزور تحت تأثیر یک درجه ساده بوسیله تعویض ارزش PH متوجه واکنش است همانطور که در شکل ۲ مشاهده میکنید از یک فاکتور بین کمترین و بیشترین ارزش فعالیت در حدود  $1000Lg^{-1}min^{-1}$  در  $600Lg^{-1}min^{-1}$  یافت شد.

فعالیت آنکن فعالیت کاتالیزوری بالاتر از  $12000Lg^{-1}min^{-1}$  را از  $1100Lg^{-1}min^{-1}$  تا  $1000Lg^{-1}min^{-1}$  را اجراه می دهد اندازه گیری پتانسیل زتا به نقطه شارژ صفر  $\cong PH_{PZC}$  را نشان داد. در ارزش PH طبیعی تراکم و ازات نانو کاتالیز به تراکم تمایل دارند. یک قاعده تجربی تعریف می کند که تعليق کلوریدی با پتانسیل مطلق زتا  $\Sigma \geq 30MV$  می تواند به عنوان سیستم های تعليق پایدار به علت نیروهای دافعه قوی بين ذرات در نظر گرفته شود. [19]



شکل ۲\_ تغییرات فعالیت کاتالیزور بوسیله تعویض ارزش PH متوجه واکنش

فعالیت نسبتاً بالای Pd (پالادیم) در  $PH=5$  و  $PH=9$  قابل مقایسه است که می توان ثبات بالاتر توقف کاتالیزور و در نتیجه ذرات سطح بالاتر را توضیح داد. به نظر می رسد که کاتیونهای فلزی اثرات متفاوتی روی فعالیت کاتالیزور داشته باشند. فلزات قلایی و آلومنیوم تأثیری در برد محدوده غلظت را نشان نمی دهد در حالی که کاربردهای مشابه فلزات زمین فقط وقتي محلول نمک کم وجود ندارد شکل می گيرند. سخت کننده های آب احتمالاً شروع به بستن سطح Pd در غلظت معمول برای آبهای بسیار سخت می کنند مس و قطعه تمایل به بی اثر کردن کاتالیزور در غلظت پایین تر محدودیتهای تخلیه خود دارند در جاییکه نیکل و مس و آلومنیوم و منیزیم این تأثیر را منفی را در غلظتهای محاجز قواعد تخلیه ندارند. به منظور حفظ همه کاتیونهای محلول در شرح ارزش PH بین ۵ و ۶ برای این آزمایشات قابل تنظیم است. با این حال سیستم های غیر بافر (کور) ارزش قابل ملاحظه PH را در طی واکنش تفسیر نداد زیرا حالت مغناطیسی می تواند حالت قلایی را مهیا کند. مناطق قلایی در همسایگی نزدیک کاتالیزور پشتیبان هنوز ممکن است باعث تسریع (بارش) هیدروکسید فلز یا هیدرو کسیدها در سطح شوند. بنابراین تعجب آور است که اضافه کردن  $Fe^{3+}$  و  $Fe^{2+}$  با کاهش در سطح پالاریم (Pd) با توجه به ساختارهای اکسید آهن بیش از حد از کاتالیزور پشتیبان توضیح داده شد. برای  $Pd/Fe_3O_4$ ، اضافه کردن یونهای محلول  $Fe^{2+}$  و  $Fe^{3+}$  به طور بالقوه به عنوان رسوب آهن شسته شده بود و یا فرم آهن پوشش اکسید آهن در مکان Pd تحت غلظتهای واکنش انتخاب شده بودند.



فعالیت کاتالیزوری پس از اضافه کردن نمک آهن در  $HDC$  راه اندازه آزمایش استوار باقی می اثرسازی بوسیله شناخت سوموم کاتالیزوری مانند  $Pd^{2+}$  و  $Hg^{2+}$  در غلظتهای پایین تر و بالاتر از محدوده تخلیه آزموده شد. سنتیک  $HDC$  در حضور  $Pd^{2+}$  به اثر جات توجه ایی را نشان داد. اگر چه اضافه کردن  $Pd^{2+}$  به مسمومیت کامل کاتالیزور منجر می شوند، اضافه کردن  $Pb^{2+}$  به  $0/1\text{mgL}^{-1}$  به یک سنتیک درجه اول فعالیت پالادیم به طرز شگفت انگیزی بالا منجر می شود.[20]

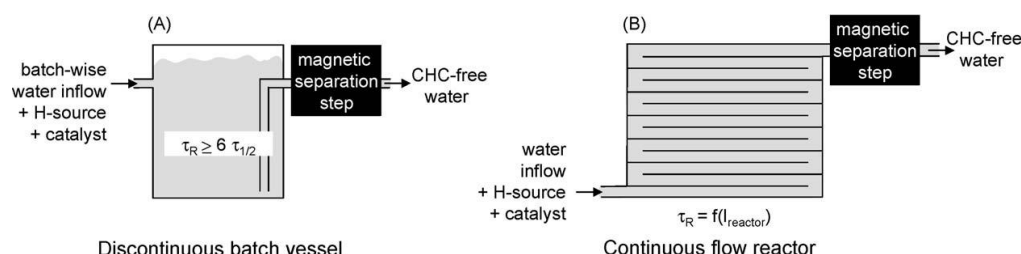
#### جربان کاتالیزور بطور مداوم

برای حجم های بزرگتر طرز عمل تولید مداوم فاضلاب، جربان از طریق راکتورها ممکن است که از عمل فاضلابها طی عبور جربان برق لوله پیچ در پیچ طولانی راکتور انجام می شود. آزمایشات با استفاده از یک لوله شیشه ایی حلقه ایی به عنوان جربان عبوری راکتور انجام شد. ذرات کاتالیزور و منبع هیدروژن در آب الوده در ورودی راکتور تقدیم شدند و به جربان آب منتقل شدند.

نانو کاتالیزورهای  $Pd/Fe_3O_4$  یک مزیت داشتند که آسان و جداسازی اثر مغناطیسی بالا در خروجی راکتور داشتند.

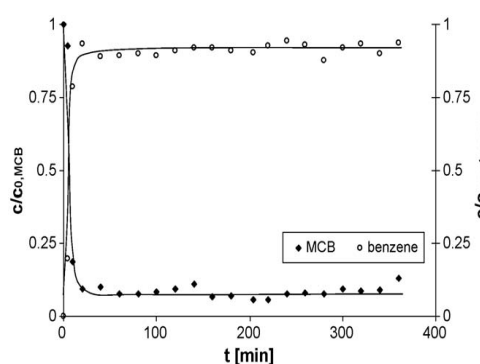
در آزمونهای این آزمایشگاه، MCB به عنوان ترکیبات پر پوب انتخاب شدند به این دلیل که خودش و مخصوصات واکنش بنزن آن به آسانی با رسم نمونه آب در یک ویل و تجزیه و تحلیل غلظت فضای فوقانی قابل کشف است زمان واکنش آب در لوله های حلقه ایی راکتور تنظیم شده همانطوری که حمل و نقل بهینه ذرات ناقص بود و تبدیل MCB ناقص بود. به منظور تعیین فعالیت کاتالیزوری. حمل و نقل نانو کاتالیزور از طریق راکتور در کل سیم پیچ یکسال بود. [21]

پس از چند دقیقه درجه ثبات تبدیل در طول کل آزمایش پایدار باقی مانده مربوط به فعالیت کاتالیزور  $APd.MBC=M.Lg-1min-1$  این مقدار با برابر بیشتر برای مقایسه MCB در واکنشهای دسته ایی بالاتر است اما با همان مقدار حجم. بازیابی ذرات مغناطیسی واکنش معلق با وسایل ساده تله مغناطیسی (که شکل افزار یک آهنربای دائم در دیوار بیرونی راکتور با یک توب از پشم فولادی در درون آن است (شکل 3-4).



شکل 3\_ شماتیک آزمایش انجام شده توسط راکتور به مدت 6 ساعت

شکل 4\_ نمودار مقایسه تغییرات MCB و بنزن



#### نتیجه گیری

نانو کاتالیزورهای  $Pd/Fe_3O_4$  برای واکنش های  $HDC$  در غلظت مختلف فاضلاب مورد آزمایش قرار گرفته شد. ثبات کاتالیزورها و کاربردشان در اصل مقاومت بالای غیرمنتظره را در برابر نمکهای معمول در مقایسه با سایر سیستم های حاوی پالارین (Pd) نشان می دهد. با این وجود تعدادی از سوموم کاتالیزوری قوی شناخته شده باید توسط پیش زمینه های مناسب خودداری و حذف شوند . استراتژی های جدید برای محافظت کاتالیزورهای کارا مطلوبند . نایپوستگی عمل ورودی راکتور به همان ارزاده ادامه جربان راکتورها، مناسب انواع راکتور برای اجرای  $CHC$  فاضلاب آلووده با استفاده از  $PdFe_3O_4$  نانوکاتالیزورها هنگامی که به واحد جداگانه مغناطیسی متصل هستند. فعالیتهای کاتالیزوری بر جسته، ثبات سیستم  $Pd/Fe_3O_4$  در گسترده  $PH$  محدود و بازیابی کاتالیزورها بوسیله جداکننده های مغناطیسی بسیار شرط امیدوار کننده برای یک کاربرد موفق سیستم نانو کاتالیزور در طرز عمل فاضلاب هستند.



## مراجع

- [1] J.A. Eastman, S.U.S. Choi, S. Li, W. Yu, L.J. Thompson, Anomalously increased effective thermal conductivities of ethylene glycol-based nanofluids containing copper nano-particles, *Appl. Phys. Lett.* 78 (6) (2001) 718–720.
- [2] S. Lee, S.U.-S. Choi, S. Li, J.A. Eastman, Measuring thermal conductivity of fluids containing oxide nanoparticles, *ASME J. Heat Transfer* 121 (1999) 280–289.
- [3] S.U.S. Choi, Z.G. Zhang, W. Yu, F.E. Lockwood, E.A. Grulke, Anomalous thermal conductivity enhancement in nanotube suspensions, *Appl. Phys. Lett.* 79 (14) (2001) 2252–2254.
- [4] Y. Xuan, Q. Li, Heat transfer enhancement of nanofluids, *Int. J. Heat Mass Transfer* 21 (2000) 58–64.
- [5] J.C. Maxwell, *A Treatise on Electricity and Magnetism*, 3rd edition, Clarendon Press, 1954 reprint, Dover, New York, 1891, pp. 435–441.
- [6] R.L. Hamilton, O.K. Crosser, Thermal conductivity of heterogeneous two-component systems, *I&EC Fund.* 1 (1962) 187–191.
- [7] D.J. Jeffrey, Conduction through a random suspension of spheres, *Proc. Royal Soc. Lond. A* 335 (1973) 355–367.
- [8] R.H. Davis, The effective thermal conductivity of a composite material with spherical inclusions, *Int. J. Thermophys.* 7 (1986) 609–620.
- [9] S. Lu, H. Lin, Effective conductivity of composites containing aligned spheroidal inclusions of finite conductivity, *J. Appl. Phys.* 79 (1996) 6761–6769.
- [10] R.T. Bonnecaze, J.F. Brady, A method for determining the effective conductivity of dispersions of particles, *Proc. Royal Soc. Lond. A* 430 (1990) 285–313.
- [11] R.T. Bonnecaze, J.F. Brady, The effective conductivity of random suspensions of spherical particles, *Proc. Royal Soc. Lond. A* 432 (1991) 445–465.
- [12] B.X. Wang, L.P. Zhou, X.F. Peng, A fractal model for predicting the effective thermal conductivity of liquid with suspension of nanoparticles, *Int. J. Heat Mass Transfer* 46 (2003) 2655–2672.
- [13] G. Chen, Nanolocal and nonequilibrium heat conduction in the vicinity of nanoparticles, *J. Heat Transfer* 118 (1996) 539–545. [14] G. Chen, Particularities of heat conduction in nanostructures, *J. Nanoparticle Res.* 2 (2000) 199–204.
- [15] P. Keblinski, S.R. Phillpot, S.U.S. Choi, J.A. Eastman, Mechanisms of heat flow in suspensions of nano-sized particles (nanofluids), *Int. J. Heat Mass Transfer* 45 (2002) 855–863.
- [16] J. Kestin, W.A. Wakeham, A contribution to the theory of the transient hot-wire technique for thermal conductivity measurements, *Physica* 92A (1978) 102–116.
- [17] R.A. Perkins, M.L.V. Ramires, C.A. Nieto de Castro, Thermal conductivity of saturated liquid toluene by use of anodized tantalum hot wires at high temperatures, *J. Res. Natl. Inst. Standards Technol.* 105 (2000) 255–265.
- [18] L. Xue, P. Keblinski, S.R. Phillpot, S.U.-S. Choi, J.A. Eastman, Effect of fluid layering at the liquid-solid interface on thermal transport, *Int. J. Heat Mass Transfer* 47 (2004) 4277–4284.
- [19] M.C. Cattaneo, Sur une forme de l'équation de la chaleur éliminant le paradoxe d'une propagation instantanée, *Comptes Rendus Hebd. Séances Acad. Sci.* 247 (4) (1958) 431–433.